

07;12

Чувствительность интегрально-оптических датчиков призмного типа вблизи критических условий

© И.У. Примак

Институт прикладной оптики НАН Белоруссии,
212793 Могилев, Белоруссия
e-mail: ipo@physics.belpak.mogilev.by

(Поступило в Редакцию 17 июня 2003 г.)

Выполнен анализ чувствительности интегрально-оптических датчиков на основе призмного устройства возбуждения планарных волноводов. Показано, что максимум чувствительности достигается в случае возбуждения волноводных мод, находящихся в условиях, близких к критическим.

Введение

К настоящему времени предложено значительное число интегрально-оптических датчиков параметров сред [1–6], однако многие вопросы оптимизации таких устройств остаются открытыми. Настоящая работа посвящена исследованию датчиков, в которых регистрируемой величиной является мощность светового пучка, отраженного от призмного устройства возбуждения планарных оптических волноводов [2–4]. Возможности оптимизации таких датчиков были рассмотрены в [4], где проанализирован случай возбуждения мод, находящихся при условиях, удаленных от критических. Между тем результаты исследований, с одной стороны, мод волноводов с толщинами, близкими к критическим [5,6], а с другой стороны, отражения пучков вблизи критического угла от исследуемой среды [7,8] позволяют предположить, что чувствительность датчиков может иметь максимум вблизи критических условий. Ниже получено общее аналитическое описание чувствительности датчиков и решена задача о ее максимизации вблизи критических условий. Показано, что переход к этим условиям позволяет повысить чувствительность устройств на несколько порядков.

Интенсивность отраженного пучка

Для исследования чувствительности датчиков получим аналитическое выражение для энергетического коэффициента отражения R пучка от основания призмного устройства связи. Схема рассматриваемых

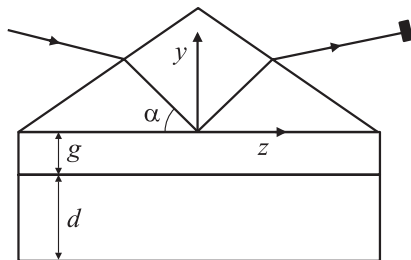


Рис. 1. Схема интегрально-оптического датчика призмного типа.

устройств представлена на рис. 1. Она включает призму, на основании которой расположена пленочная структура, состоящая из буферного слоя и волновода с толщинами соответственно g и d . Волновод контактирует с исследуемой средой. Призма, буферный слой, волновод и исследуемая среда имеют комплексные диэлектрические проницаемости соответственно $\epsilon_p = \epsilon'_p$, $\epsilon_g = \epsilon'_g + i\epsilon''_g$, $\epsilon_w = \epsilon'_w + i\epsilon''_w$ и $\epsilon_c = \epsilon'_c + i\epsilon''_c$ (здесь и далее комплексные величины записываются в виде $Z = Z' + iZ''$, где $Z' = \text{Re } Z$, $Z'' = \text{Im } Z$). В дальнейшем будем предполагать, что $\epsilon'_g < \epsilon'_c$. Это наиболее интересное с практической точки зрения условие [5,6] может быть достигнуто за счет использования металлического буферного слоя. Волновод возбуждается когерентным световым пучком TE - или TM -поляризации. Мощность отраженного пучка регистрируется фотоприемником. Будем считать, что поле возбуждающего пучка зависит от времени как $\exp(i\omega t)$ и на основании призм распределено по закону $\psi = \psi_0(xw_0^{-1}, zw_0^{-1} \sin \alpha) \exp(-i\beta_0 z)$, где величина ψ имеет смысл компоненты электрического поля E_x для волн TE -поляризации либо компоненты магнитного поля H_x для волн TM -поляризации; w_0 — радиус пучка в окружающей призму среде; $w = w_0 N$, N — коэффициент, учитывающий преломление пучка на боковой грани призмы; α — угол между осью пучка и основанием призмы; $\beta_0 = k_0 \sqrt{\epsilon_p} \cos \alpha$, $k_0 = 2\pi\lambda_0^{-1}$ — волновое число вакуума.

Согласно [9], энергетический коэффициент отражения пучка от основания призмы выражается через коэффициент отражения плоской волны $r(k_x, \beta)$ и фурье-образ поля падающего пучка $a(k_x, \beta)$ посредством соотношения

$$R = A \iint_{-\infty}^{\infty} dk_x d\beta |ra|^2 \sqrt{k_0^2 \epsilon_p - \beta^2} \times \left(\iint_{-\infty}^{\infty} dk_x d\beta |a|^2 \sqrt{k_0^2 \epsilon_p - \beta^2} \right)^{-1}, \quad (1)$$

где A — коэффициент, учитывающий отражение пучка от боковых граней призмы,

$$a = \iint_{-\infty}^{\infty} d\xi d\xi \psi_0(\xi, \xi) \exp[ik_x \xi w_0 + i(\beta - \beta_0)\xi w / \sin \alpha],$$

$$\xi = xw_0^{-1}, \quad \xi = zw_0^{-1} \sin \alpha.$$

Строгое выражение для функции $r(k_x, \beta)$, применимое в случае произвольной слоистой структуры, приведено в работе [10]. Однако ввиду сложности оно малопримочно для анализа чувствительности датчика. В работе [10] было предложено приближенное аналитическое выражение для функции $r(k_x, \beta)$, найденное при условиях резонансного возбуждения моды. Однако соответствующее выражение теряет применимость при возбуждении моды волновода, находящейся в условиях, близких к критическим, т.е. когда действительная часть постоянной распространения моды $h' \rightarrow k_0 \sqrt{\varepsilon'_c}$. Поэтому рассмотрим иное приближение, применимое как вблизи, так и вдали от критических условий. Оно дается выражением

$$r = (1 - \delta)(1 + \delta)^{-1} - 4\delta\Delta\bar{k}_{yc} [(1 - \delta)^2(v - k_{yc})]^{-1}, \quad (2)$$

где

$$v(k_x, \beta) = \sqrt{k_0^2 \varepsilon_c - k_x^2 - \beta^2} \quad (v' \geq 0),$$

$$\begin{aligned} \Delta\bar{k}_{yc} &= \bar{k}_{yc} - k_{yc} \\ &= ik_{yg} \left(\frac{1 - \delta}{1 + \delta} \right) \frac{\exp(-2ik_{yg}g)A_0(-g + 0)}{k_{yc} \int_{-\infty}^{\infty} A_0 dy}, \end{aligned}$$

$$A_0(y) = Y^2(y)\varepsilon^{-T}, \quad \delta = \frac{k_{yg}}{k_{yp}} \left(\frac{\varepsilon_p}{\varepsilon_g} \right)^T,$$

$$k_{yp,g} = \sqrt{k_0^2(\varepsilon_{p,g} - \varepsilon_c) + k_{yc}^2} \quad (k_{yg}'' < 0), \quad (3)$$

k_{yc} и $Y(y)$ — собственное значение и собственная функция спектральной задачи

$$\varepsilon^T \frac{\partial}{\partial y} \left[\varepsilon^{-T} \frac{\partial}{\partial y} Y \right] + [k_0^2(\varepsilon - \varepsilon_c) + k_{yc}^2]Y = 0, \quad (4)$$

\bar{k}_{yc} — поперечная постоянная распространения в исследуемой среде вытекающей моды волноведущей структуры нагруженной призмой; $T = 0$ для TE -волн и $T = 1$ для TM -волн; комплексная функция $\varepsilon = \varepsilon(y)$ описывает диэлектрическую проницаемость волноведущей структуры без призмы и принимает значения ε_g при $y > -g$, ε_w при $-g - d < y < -g$ и ε_c при $y < -g - d$.

Приближение (2) получено по схеме, аналогичной описанной в [10], но с использованием разложения в ряд Тейлора функции $\Phi(v)$ в окрестности точки $v = k_{yc}$, где $\Phi(k_{yc}) = 0$ — дисперсионное уравнение для возбуждаемой волноводной моды. Переход в названном разложении от переменной β [10] к переменной v позволяет устранить проблему, связанную с близостью точки ветвления функции $v(0, \beta) = \sqrt{k_0^2 \varepsilon_c - \beta^2}$ к корню дисперсионного уравнения при условиях, близких к критическим, и за счет этого кардинально поднять точность приближения.

Заметим, что, применяя метод возмущений [11] к уравнению (4), можно получить важное для дальнейше-

го рассмотрения соотношение

$$k_{yc} = \eta - \left[k_0^2 \int_{-\infty}^{\infty} (\varepsilon_c'' A_1 - \varepsilon_c'' A_2) dy \right] \left(2i\eta \int_{-\infty}^{\infty} A_1 dy \right)^{-1}, \quad (5)$$

где $A_1 = Y_0^2 \varepsilon'^{-T}$, $A_2 = \varepsilon'^{-T} (A_1 [\varepsilon_c'^T - T(\eta k_0^{-1})^2] + T(k_0^2 \varepsilon')^{-1} [\nabla_y Y_0]^2)$; η и $Y_0(y)$ есть собственное значение и собственная функция задачи (4), взятой при $\varepsilon_g'' = 0$, $\varepsilon_w'' = 0$, $\varepsilon_c'' = 0$.

Чувствительность датчика

Чтобы применить результаты предыдущего раздела к анализу чувствительности рассматриваемых датчиков, учтем, что в этих устройствах регистрируется приращение коэффициента отражения ΔR , обусловленное изменением параметров исследуемой среды. Поскольку эти изменения проявляются в приращении диэлектрической проницаемости $\Delta\varepsilon_c = \Delta\varepsilon'_c + i\Delta\varepsilon''_c$, то

$$\Delta R = R(\varepsilon_c + \Delta\varepsilon_c) - R(\varepsilon_c), \quad (6)$$

при этом чувствительность S определяется как производная

$$S = \partial R / \partial p, \quad (7)$$

где p — параметр, характеризующий воздействие, вызвавшее изменение диэлектрической проницаемости среды (например, p может иметь смысл концентрации исследуемой примеси в среде) [3,4].

С целью получения явного выражения для S воспользуемся известным фактором, что обусловленные приращением $\Delta\varepsilon_c$ вариации величин δ , k_{yp} и Δk_{yc} пренебрежимо малы по сравнению с вариациями параметров v , k_{yc} [4]. Пусть датчик возбуждается световым пучком, которому соответствуют узкие эффективные диапазоны изменения компонент волновых векторов составляющих его плоских волн: $\Delta k_x = |k_x| \sim w_0^{-1}$, $\Delta\beta = |\beta - \beta_0| \sim w^{-1} \sin \alpha$, где $(k_0 w_0)^{-1} \ll 1$. Допустим также, что пучок сфокусирован на основании призмы связи, т.е. $\psi_0^* = \psi_0 \exp(i\varphi)$, где звездочка означает комплексное сопряжение, φ — некоторая вещественная постоянная. Тогда из (1), (2), (6), (7) находим с точностью до величин порядка $(\Delta k_x / k_0)^4$, $(\Delta\beta / k_0)^4$

$$S = A |(1 - \delta)(1 + \delta)^{-1}|^2 K |L| F, \quad (8)$$

где

$$K = (k'_{yc} - v'_0)^{-1} \frac{\partial \varepsilon_c''}{\partial p}, \quad L = \frac{k_0^2}{2v_0} - \frac{\partial k_{yc}}{\partial \varepsilon_c},$$

$$F = 4u(1 + u)(1 + v^2)^{-2} \left[D_1(v^2 - 2u - 1) - 2D_2v(1 + u) + GH_1^2 + BH_1H_2 + CH_2^2 \right], \quad (9)$$

$$v_0 = v(0, \beta_0),$$

$$\frac{\partial k_{yc}}{\partial \varepsilon_c} = \left[k_0^2 \int_{-d-g}^{\infty} A_0 dy - iTk_{yc}\varepsilon_c^{-1}A_0(-d-g-0) \right] \times \left[2k_{yc} \int_{-\infty}^{\infty} A_0 dy \right]^{-1},$$

$$H_1 = \frac{\sin \alpha \beta_0}{w p_1 |v_0|}, \quad H_2 = \frac{k_0 \sin \alpha}{w |v_0|^2}$$

$$D_1 = \frac{1 - DL'(L'')^{-1}}{\sqrt{1 + [L'(L'')^{-1}]^2}}, \quad D_2 = \frac{D + L'(L'')^{-1}}{\sqrt{1 + [L'(L'')^{-1}]^2}},$$

$$D = \frac{\partial \varepsilon_c}{\partial p} \left(\frac{\partial \varepsilon_c''}{\partial p} \right),$$

$$v = p_1^{-1}(v_0'' - \bar{k}_{yc}''), \quad u = p_1^{-1} \operatorname{Re} [2\delta \Delta k_{yc}(1 - \delta)^{-2}],$$

$$p_1 = \bar{k}_{yc}' - v_0',$$

$$G = -P_z(1 + v^2)^{-1} \operatorname{Im} \left\{ 4iu(D_1 + vD_2) \times \left[1 + (v_0^* |v_0|^{-1})^2 \right] + (v_0^* |v_0|^{-1})^2 (1 + v^2)^{-1} \times \left[(D_2 + iD_1)(3v^4 + 3 - 18v^2 + 4u - 20uv^2) + 4v(1 - v^2)[3(1 + u)(iD_2 - D_1(-2uD_1))] \right] \right\},$$

$$B = \operatorname{Im} \left\{ (1 + v^2)^{-1} \times \left[(1 + u)(1 - 3v^2[\Phi_1 D_2 + \Phi_2 D + i(\Phi_1 D_1 + \Phi_2)]) - [\Phi_1 D_1 + \Phi_2 - i(\Phi_1 D_2 + \Phi_2 D)](3 + 4u - v^2) \right] + 2iu\Phi_1 D_1 + u(i + D)\Phi_2 \left(1 + (|v_0|v_0^*)^{-1} \right)^2 \right\},$$

$$C = \operatorname{Im} \left\{ \Phi_3 [(1 - iD)(v^2 - 2u - 1) - 2v(1 + u)(i + D)] \right\},$$

$$\Phi_1 = k_0 v_0^* (\beta_0 |v_0|)^{-1} \left(P_z \varepsilon_c' (v_0^* |v_0|^{-1})^2 + P_x |v_0 k_0^{-1}|^2 \right),$$

$$\Phi_2 = -ik_0 \beta_0 |v_0 L|^{-1} (v_0^* |v_0|^{-1})^4 P_z,$$

$$\Phi_3 = 0.5k_0^2 v_0^* |v_0^2 L|^{-1}$$

$$\times \left(1.5\varepsilon_c' (v_0^* |v_0|^{-1})^4 P_z + (0.5P_x - P_z)(v_0^* k_0^{-1})^2 \right),$$

$$P_x = \iint_{-\infty}^{\infty} \left| \frac{\partial \psi_0}{\partial \xi} \right|^2 d\xi d\xi \left((\sin \alpha / N)^2 \iint_{-\infty}^{\infty} |\psi_0|^2 d\xi d\xi \right)^{-1},$$

$$P_z = \iint_{-\infty}^{\infty} \left| \frac{\partial \psi_0}{\partial \xi} \right|^2 d\xi d\xi \left(\iint_{-\infty}^{\infty} |\psi_0|^2 d\xi d\xi \right)^{-1}. \quad (10)$$

При получении выражения (9) слагаемые, пропорциональные $p_1^{-1} \operatorname{Im} [2\delta \Delta k_{yc}(1 - \delta)^{-2}]$, были опущены, поскольку для представляющих основной интерес слабозатухающих мод выполняется неравенство $\operatorname{Im} \left| k_{yc} \int_{-\infty}^{\infty} A_0 dy \right| \gg \operatorname{Re} \left| k_{yc} \int_{-\infty}^{\infty} A_0 dy \right|$ [10], вследствие этого $|p_1^{-1} \operatorname{Im} [2\delta \Delta k_{yc}(1 - \delta)^{-2}]| \ll |u|$.

Практический интерес представляет задача отыскания максимумов функции $|S(w, \alpha, g, d)|$ при заданных диэлектрических проницаемостях $\varepsilon_p, \varepsilon_g, \varepsilon_w$ и ε_c . Для решения этой задачи учтем, что максимальную чувствительность следует ожидать при условиях, близких к критическим, т.е. при $d \rightarrow d_c$, где d_c — критическое значение толщины волновода. В этом случае коэффициенты L и K имеют вид $L = 0.5k_0^2 v_0^{-1}, K = (k_{yc}')^{-1} \partial \varepsilon_c'' / \partial p$. Анализ выражения (5) при условии $d \rightarrow d_c$ в случае, когда затухание моды волноведущей структуры определяется поглощением в буферном слое, что означает выполнение неравенства [11]

$$\left| \int_{-d-g}^{-g} (\varepsilon_c'' A_1 - \varepsilon_w'' A_2) dy \right| \ll \left| \varepsilon_g'' \int_{-g}^{\infty} A_2 dy \right|, \quad (11)$$

показывает, что зависимостью k_{yc}' от d можно пренебречь. Это позволяет свести поиск максимумов функции $|S(w, \alpha, g, d)|$ к решению системы уравнений $\partial |L| / \partial v_0'' = 0, \partial F / \partial H_1 = 0, \partial F / \partial H_2 = 0, \partial F / \partial u = 0, \partial F / \partial v = 0$ относительно параметров v_0'', H_1, H_2, u, v . Данная система имеет аналитическое решение: $v_0'' = v_{0 \text{opt}}'', H_1 = H_{1 \text{opt}}, H_2 = H_{2 \text{opt}}, u = u_{\text{opt}}^{(s)}, v = v_{\text{opt}}^{(s)}, F = F_{\text{opt}}$, где

$$v_{0 \text{opt}}'' = -k_0 \sqrt{0.5|\varepsilon_c''|}, \quad (12)$$

$$H_{1 \text{opt}} = H_{2 \text{opt}} = 0, \quad (13)$$

$$F_{\text{opt}} = \pm \frac{2}{3} \sqrt{\frac{1 + D^2}{3}}, \quad u_{\text{opt}}^{(s)} = -\frac{3F_{\text{opt}}}{9F_{\text{opt}} + 2D_1},$$

$$v_{\text{opt}}^{(s)} = \frac{2D_2}{9F_{\text{opt}} + 2D_1}, \quad s = \operatorname{sign}(F_{\text{opt}}). \quad (14)$$

Из (12) и соотношений

$$\beta_0 = k_0 \sqrt{\varepsilon_c - [0.5k_0 \varepsilon_c'' (v_{0 \text{opt}}'')^{-1} + i v_{0 \text{opt}}'' k_0^{-1}]^2} = k_0 \sqrt{\varepsilon_c'},$$

$$\alpha = \arccos [\beta_0 / (k_0^2 \varepsilon_p)^{0.5}]$$

получаем, что оптимальный угол падения возбуждающего пучка равен критическому значению $\alpha_k = \arccos [(\varepsilon_c' / \varepsilon_p')^{0.5}]$. Условия (13) достигаются в пределе при $w \rightarrow \infty$. Это означает, что максимум величины $|S|$ имеет место в случае возбуждения волноводов плоской волной. Из выражений (3), (10), (14) следует существование двух наборов оптимальных толщин волноводного и буферного слоев: $d = d_{\text{opt}}^{(s)}$ и $g = g_{\text{opt}}^{(s)}$. Используя выра-

жения (10) и (14), запишем уравнение для определения значений $d_{\text{opt}}^{(s)}$

$$k''_{yc} - v''_{0\text{opt}} + (k'_{yc} - 0.5k_0^2 \varepsilon''_c (v''_{0\text{opt}})^{-1}) \times [v_{\text{opt}}^{(s)} + u_{\text{opt}}^{(s)}] (1 + u_{\text{opt}}^{(s)})^{-1} = 0. \quad (15)$$

Здесь $k'_{yc} = k'_{yc}(d_{\text{opt}}^{(s)})$, $k''_{yc} = k''_{yc}(d_{\text{opt}}^{(s)})$, $q = \text{Im}[0.5\delta^{-1} \times (1 + \delta^2)]$. После определения $d_{\text{opt}}^{(s)}$ значение $g_{\text{opt}}^{(s)}$ находится с помощью выражения, получаемого из (3), (10) и (14),

$$g_{\text{opt}}^{(s)} = 0.5|k_{yg}|^{-1} \times \ln \left| \frac{0.5(1 - \delta)^2 k_{yc} u^{(s)} (k'_{yc} - 0.5k_0^2 \varepsilon''_c (v''_{0\text{opt}})^{-1}) \int_{-\infty}^{\infty} A_0 dy}{k_{yg} \delta (1 + u^{(s)}) A_0 (-g + 0)} \right|. \quad (16)$$

Заметим, что при отсутствии поглощения в волнующей структуре ($\varepsilon''_g = 0$, $\varepsilon''_w = 0$, $\varepsilon''_c = 0$) корнем уравнения (15) является критическая толщина волновода возбуждаемой моды d_c . При этом чувствительность не зависит от номера m ($m = 0, 1, \dots$) данной моды. Это связано с тем, что зависимостью величины K от d , как было отмечено выше, можно пренебречь при условиях (11) и $d \rightarrow d_c$. Из этого правила имеет место исключение для основной моды TM -поляризации, которая в случае металлического буферного слоя вырождается в плазмонную моду границы раздела $y = -g$ при $d \rightarrow 0$.

Чтобы протестировать приближение (8) и справедливость предположения о максимизации чувствительности вблизи критических условий, были выполнены расчеты зависимости чувствительности конкретного датчика от толщины волновода. Результаты этих расчетов для случая вариаций поглощения водной среды ($\Delta\varepsilon' = 0$, $\Delta\varepsilon'' \neq 0$, $D = 0$) при $\varepsilon_c = 1.774224 - i3.73 \cdot 10^{-8}$, $\varepsilon_w = 2.295225 - i3.03 \cdot 10^{-5}$, $\varepsilon_g = -18 - i0.47004$ и $\varepsilon_p = 3.055154$ представлены на рис. 2. Рассматривалась мода TE -поляризации ($m = 1$). Точный расчет чувствительности

$$S = \frac{\partial R}{\partial \varepsilon''_c}, \quad (17)$$

результаты которого представлены на рис. 2 кривой 1, был выполнен с использованием численного дифференцирования функции $R(\varepsilon_c)$, где величина $R = |r|^2$, вычислялась с помощью рекуррентных соотношений [12]. В этих вычислениях использовались значения толщин d и g , найденные после соответственно численного решения уравнения (15) и расчета на основании выражения (16). При этом для заданного значения угла падения α полагалось, что $v''_{0\text{opt}} = v''_0$, $d = d_{\text{opt}}^{(1)}$, $g = g_{\text{opt}}^{(1)}$ и использовались величины $u_{\text{opt}}^{(1)}$ и $v_{\text{opt}}^{(1)}$, найденные из (14) при $s = 1$. Значения величин k_{yc} вычислялись путем решения уравнения (4) методом контурного интегрирования [12]. В результате последовательного изменения

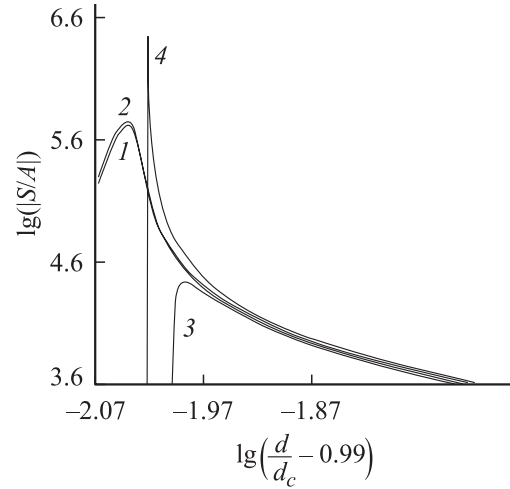


Рис. 2. Зависимость чувствительности датчика от толщины волновода.

угла α в окрестности критического значения α_k и применения описанных процедур определения величин d , g и S была построена зависимость $S(d)$, где $d = d(\alpha)$. Затем, благодаря полученной зависимости $d = d(\alpha)$ и выражениям (8), (14), был выполнен приближенный расчет величин S , результаты которого представлены на рис. 2 кривой 2. Приведенные данные подтверждают корректность выражения (8). Из этих данных следует, что максимальное значение $|S/A| = 5.8 \cdot 10^5$ достигается при $d = 6.303k_0^{-1}$ вблизи критической толщины волновода $d_c = 6.308k_0^{-1}$. В то же время полученное в [4] аналитическое описание чувствительности оказывается в случае $d \rightarrow d_c$ неэффективным. Об этом свидетельствуют результаты точного и приближенного расчетов величин S с использованием выражений (2) и (3) работы [4]. На рис. 2 эти результаты представлены соответственно кривыми 3 и 4.

Обратимся к вопросу о выборе оптимальной поляризации возбуждающего пучка. Эту поляризацию следует выбирать из условия максимизации величины K , поскольку другие параметры в выражении (8) при $v''_0 = v''_{0\text{opt}}$, $H_1 = H_{1\text{opt}}$, $H_2 = H_{2\text{opt}}$, $u = u_{\text{opt}}^{(s)}$, $v = v_{\text{opt}}^{(s)}$ и $F = F_{\text{opt}}$ не зависят от поляризации. В связи с этим рассмотрим отношение $K|_{T=0} (K|_{T=1})^{-1}$, которое при $d \rightarrow d_c$ с учетом (5) и (11) имеет вид

$$K|_{T=0} (K|_{T=1})^{-1} = \varepsilon'_c (2\varepsilon'_c - \varepsilon'_g) (\varepsilon'_c (\varepsilon'_w + \varepsilon'_g) - \varepsilon'_g \varepsilon'_w)^{-1}. \quad (18)$$

Отсюда следует, что при $\varepsilon'_c > 0.5\varepsilon'_w$ предпочтительнее использовать возбуждающий пучок TE -поляризации. Например, для приведенных выше значений диэлектрических проницаемостей ε_c , ε_w и ε_g это условие выполняется, при этом в соответствии с выражением (18) $K|_{T=0} (K|_{T=1})^{-1} = 2.8$.

Оценим теперь влияние ограниченности пучка на чувствительность. Как следует из выражений (8) и (9),

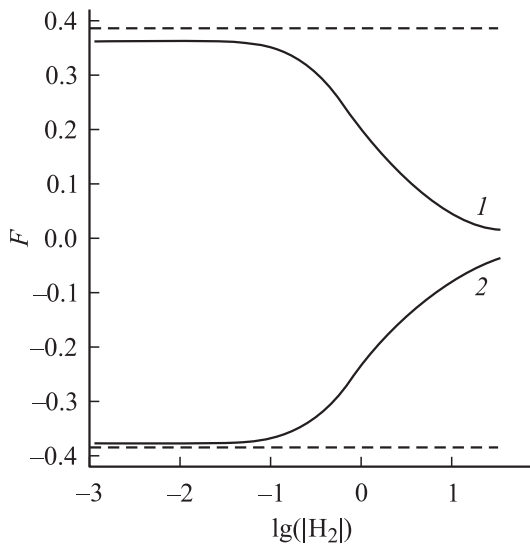


Рис. 3. Зависимость параметра F от H_2 в случае $d \rightarrow d_c$.

при $|H_1 H_2^{-1}| \ll 1$ (что справедливо для $\alpha \rightarrow \alpha_k$) зависимость чувствительности от размера пучка описывается функцией $F(H_2)$, где $H_2 = H_2(w)$. Согласно (13), максимум $|F(H_2)|$ достигается в случае $H_2 = 0$, т.е. в пределе при $w \rightarrow \infty$. Данный факт подтвержден расчетами функции $F(H_2)$ на примере датчика, параметры которого удовлетворяют выражениям (12), (14). Для гауссова пучка ($\psi_0(\xi, \zeta) = \exp(-\xi^2 - \zeta^2)$) и параметров $D, \epsilon_c, \epsilon_w, \epsilon_g, \epsilon_p, T, m$, приведенных выше, величины $F = S(A|(1 - \delta)(1 + \delta)^{-1}|^2 K|L|)^{-1}$ вычислялись в соответствии с выражениями (1) и (17). Параметры возбуждающего пучка, призмного устройства связи и волновода, согласно выражениям (12), (14)–(16), оказались равными $\beta_0 = 1.332k_0, g_{\text{opt}}^{(1)} = .06067k_0^{-1}, d_{\text{opt}}^{(1)} = 6.303k_0^{-1}$ и $g_{\text{opt}}^{(-1)} = 0.4468k_0^{-1}, d_{\text{opt}}^{(-1)} = 6.304k_0^{-1}$. Результаты расчетов чувствительности датчиков с этими параметрами представлены соответственно кривыми 1 и 2. Как видно из рисунка, при $H_2 \rightarrow 0$ величины F стремятся к постоянным значениям, близким к F_{opt} (на рис. 3 значения F_{opt} отмечены штриховыми линиями). Отличие F_{opt} от этих постоянных значений объясняется приближенным характером выражения (9), при получении которого не учитывались слагаемые, пропорциональные $p_1^{-1} \text{Im} [2\delta\Delta\bar{k}_{yc}(1 - \delta)^{-2}]$. С ростом H_2 (уменьшением w) наблюдается отклонение значений F от предельных $F(0)$. В частности, значения S/A изменяются от предельных $-5.8 \cdot 10^5$ и $6.0 \cdot 10^5$ (при $w \rightarrow \infty$) до соответственно -75.3 и 5123.7 при $w = 10^4 k_0^{-1}$.

Заметим наконец, что сравнение рассматриваемого датчика с другими датчиками [3,4,7,8] подтверждает его высокую чувствительность. Например, при тех же значениях параметров $D, \epsilon_p, \epsilon_g, \epsilon_c$ и $w = 10^4 k_0^{-1}$ максимальная чувствительность датчика на основе поверхностного плазмонного резонанса [2,3] в 64 раза ниже чувствительности рассматриваемого датчика (в пределе при $w \rightarrow \infty$ различие в чувствительности доходит до $7.1 \cdot 10^3$ раз).

Заключение

В работе исследованы интегрально-оптические датчики, в которых регистрируется мощность светового пучка, отраженного от призмного устройства возбуждения планарных волноводов. Получено в общем виде аналитическое решение задачи о максимизации чувствительности таких датчиков. Решение позволяет определить параметры возбуждающего пучка, буферного и волноводного слоев, при которых достигаются максимумы чувствительности. Показано, что эти максимумы достигаются при возбуждении моды волновода, находящейся вблизи критических условий. Продемонстрировано, что чувствительность датчика существенно зависит от радиуса w_0 возбуждающего пучка и принимает максимальное значение в пределе при $w_0 \rightarrow \infty$. При этом максимальная чувствительность рассматриваемого датчика к изменению поглощения водной среды превышает максимальную чувствительность датчика на основе поверхностного плазмонного резонанса в $7.1 \cdot 10^3$ раз.

Автор признателен А.Б. Сотскому, А.А. Романенко, В.А. Карпенко, Е.А. Ермолаеву за обсуждение и интерес к работе.

Список литературы

- [1] Lukosz W. // Sensors and Actuators B. 1955. Vol. 29. P. 37–50.
- [2] Никитин А.К., Тищенко А.А., Черняй А.И. // Зарубежная радиоэлектроника. 1990. № 10. С. 14–30.
- [3] Villatoro J., Garcia-Valenzuela A. // Appl. Opt. 1999. Vol. 38. N 22. P. 4837–4844.
- [4] Примак И.У., Сотский А.Б., Хомченко А.В. // Письма в ЖТФ. 1996. Т. 23. Вып. 13. С. 46–57.
- [5] Tiefenthaler K., Lukosz W. // J. Opt. Sot. Am. B. 1989. Vol. 6. N 2. P. 209–220.
- [6] Parriaux O., Veldhuis G.J. // J. Lightwave Technol. 1998. Vol. 16. P. 573–582.
- [7] Иоффе Б.В. Рефрактометрические методы химии. Л.: Химия, 1983. 352 с.
- [8] Peña-Gomar M.C., Garcia-Valenzuela A. // Appl. Opt. 2000. Vol. 39. N 28. P. 5131–5137.
- [9] Романенко А.А., Сотский А.Б., Хомченко А.В. // Ковариантные методы в теоретической физике (Оптика и акустика). 1996. Вып. 4. С. 71–78.
- [10] Романенко А.А., Сотский А.Б. // ЖТФ. 1998. Т. 68. Вып. 4. С. 86–95.
- [11] Адамс М. Введение в теорию оптических волноводов. М.: Мир, 1984. 512 с.
- [12] Романенко А.А., Сотский А.Б., Хомченко А.В. // Препринт ИФ АН БССР. № 649. Минск, 1991. 31 с.